# PERANCANGAN DESAIN MESIN PEMOTONG SINGKONG DAN SIMULASI METODE ELEMEN HINGGA (STUDI KASUS: UKM ZEANS SNACK)

## Dihral Maibi

S1 Teknik Mesin, Fakultas Teknik, Universitas Negeri Surabaya

# Dyah Riandadari

Jurusan Teknik Mesin, Fakultas Teknik, Universitas negeri Surabaya Email: <a href="mailto:dyahriandadari@unesa.ac.id">dyahriandadari@unesa.ac.id</a>

#### **Abstrak**

Makanan merupakan salah satu kebutuhan primer manusia. Kualitas makanan yang buruk dapat mengakibatkan keracunan, sehingga sanitasi dan higienitas makanan yang dikonsumsi perlu mendapat perhatian khusus. Untuk mengatasi kasus keracunan makanan salah satu upaya agar produk makanan yang dihasilkan tidak mudah berubah karena basi maupun terkontaminasi bakteri maka produk makanan diubah menjadi keripik. Salah satu usaha kecil menengah yang bergerak di bidang produksi keripik singkong adalah UKM Zeans Snack. Usaha yang telah beroperasi selama 7 tahun ini mempekerjakan 2 orang karyawan tetap. Ketika pesanan mencapai 1000 kemasan, proses pemotongan singkong menjadi tantangan tersendiri karena keterbatasan tenaga kerja. Untuk mengatasi hal ini, UKM terkadang mempekerjakan tenaga kerja lepas (freelancer) guna memenuhi target produksi. Sesuai dengan hal ini peneliti berupaya membuat mesin pemotong singkong dan simulasi metode elemen hingga. Tujuan penelitian ini adalah untuk mengetahui bentuk desain dan fitur dari mesin pemotong singkong dan mengetahui penggunaan analisa elemen hingga. Metode dan Teknik analisa data yang peneliti gunakan pada penelitian ini bersifat kualitatif dari data hasil desain diuji pembebanan pada rangka menggunakan simulasi metode elemen hingga. Dengan penelitian ini diharapkan hasil desain mesin pemotong singkong dijadikan sebagai referensi untuk melakukan penelitian serupa. Temuan dari penelitian yang dilakukan adalah sistem transmisi mesin perajang singkong ini mampu mengubah putaran motor listrik dari 1400 rpm menjadi 280 rpm, dengan komponen berupa 2 pulley diameter Ø475 mm, dan Ø95 oleh v-belt Tipe A No. 84 berdiameter 2134mm Poros yang digunakan berdiameter 20 mm dengan bahan S35C. Mesin memiliki 4 pisau pemotongan yang membutuhkan daya dari motor listrik sebesar 1 HP. Rangka mesin perajang singkong dengan material S35C memenuhi persyaratan keamanan karena pada stress analysis didapat yield strengh yang sesuai dan dibawah titik tertinggi 2 kali lipat sehingga aman jika dibandingkan material AISI 316, juga penambahan keranjang luaran diharapkan menambah nilai jual perancangan mesin ini

Kata kunci: Finite Element Method, Metode Elemen Hingga, CAD, CAE, Mesin Perajang Singkong

#### **Abstract**

Food is one of human's primary needs. Poor food quality can result in poisoning, so the sanitation and hygiene of the food consumed needs special attention. To overcome cases of food poisoning, one of the efforts to ensure that the food products produced do not change easily due to staleness or bacterial contamination is that the food products are changed into chips. One of the small and medium enterprises engaged in the production of cassava chips is SME Zeans Snack. This business, which has been operating for 7 years, employs 2 permanent employees. When orders reach 1000 packages, the cassava cutting process becomes a challenge in itself due to limited labor. To overcome this, SMEs sometimes employ freelance workers to meet production targets. In accordance with this, researchers tried to make a cassava cutting machine and simulated the finite element method. The purpose of this research was to determine the design and features of the cassava cutting machine and determine the use of finite element analysis. The data analysis methods and techniques that researchers used in this research were qualitative in nature, from design data that was tested for loading on the frame using finite element simulation methods. With this research, it was hoped that the results of the cassava cutting machine design would be used as a reference for conducting similar research. The findings from the research carried out are that the transmission system of this cassava chopper machine was capable of changing the rotation of the electric motor from 1400 rpm to 280 rpm, with components in the form of 2 pulleys with a diameter of Ø475 mm, and Ø95 by v-belt Type A No. 84 diameter 2134mm The shaft used is 20 mm diameter with S35C material. The machine had 4 cutting knives which require power from an electric motor of 1 HP. The frame of the cassava chopper machine with S35C material met the safety requirements because in stress analysis the yield strength was found to be suitable and below the highest point 2 times so it was safe when compared to AISI 316 material, also the addition of an outer basket was expected to increase the selling value of this machine design.

Keywords: Finite Element Method, Finite Element Method, CAD, CAE, Cassava Chopper Machine

## **PENDAHULUAN**



Gambar 1. Provinsi terbanyak kasus keracunan makanan di indonesia periode 1 Januari – 16 Oktober 2023 (Sumber : Kemenkes, 2023)

Dari data tersebut dipaparkan Jawa Timur masuk kedalam 3 besar provinsi yang mengalami kasus keracunan terbanyak pada periode 1 Januari – 16 Oktober 2023. Untuk mengatasi kasus keracunan makanan salah satu upaya agar produk makanan yang dihasilkan tidak mudah berubah karena basi maupun terkontaminasi bakteri maka produk makanan diubah menjadi keripik.

Keripik adalah salah satu bentuk makanan yang tidak mudah basi dan terkontaminasi bakteri, pengertian keripik menurut Oktaningrum et al, (2013) adalah Irisan tipis umbi-umbian, buah-buahan, atau sayuran yang digoreng dengan minyak sayur. Seringkali dipadukan dengan campuran tepung yang dibumbui dengan bumbu tertentu sehingga menghasilkan rasa yang gurih dan renyah. Keripik mungkin memiliki rasa yang utamanya asin, pedas, manis, asam, gurih, atau campuran rasa tersebut.

Salah satu usaha kecil menengah yang bergerak di bidang produksi keripik singkong adalah UKM Zeans Snack. UKM Zeans Snack didirikan oleh Ibu Santi Fauziah pada tahun 2017, usaha ini masih diminati hingga saat ini. Pendirian perusahaan ini dilatarbelakangi oleh pengamatan terhadap tingginya minat mahasiswa dan pelajar pada produk keripik. Awalnya dimulai sebagai percobaan dan upaya meningkatkan perekonomian keluarga, disertai inisiatif memasarkan produk ke toko-toko lokal lalu mendapat sambutan positif dari konsumen, yang kemudian berkontribusi pada perkembangan usaha ini.

Dalam satu kali produksi, UKM Zeans Snack mampu menghasilkan hingga 1000 kemasan keripik dengan berat 80 gram per kemasan. Produk yang dihasilkan meliputi keripik singkong, keripik tahu, dan makaroni. Untuk menjaga kualitas produk, UKM ini menerapkan sistem produksi berdasarkan permintaan, menghindari penimbunan stok untuk memastikan kesegaran produk. Pengiriman dilakukan sesuai dengan arahan dari pihak

toko, mengingat keripik tahu dan singkong memiliki risiko kerusakan meskipun dalam kemasan.

Usaha yang dimiliki Ibu Santi Fauziah ini sudah berjalan 7 tahun dengan memiliki 2 orang karyawan. Saat pesanan dari langganan tiba hingga mencapai 1000 kemasan, proses pemotongan singkong ini terasa sangat berat sehingga karyawan yang bekerja sampai memperkerjakan *freelancer* agar target tercapai dikarenakan tenaga yang terbatas. UKM Zeans Snack sudah memiliki 3 mesin yang digunakan yaitu mesin sealer, mesin penggoreng dan mesin pengaduk bumbu oleh karena itu peneliti tertarik untuk merancanakan mesin pemotong keripik singkong agar pihak ukm merasa terbantu akan adanya perencanaan mesin ini.

Mesin pemotong singkong yang akan dibuat menggunakan simulasi Metode Elemen Hingga, Sebelumnya Metode Elemen Hingga (*Finite Element Method*) telah digunakan dalam beberapa penelitian. Pertama, penggunaan FEM dilakukan oleh Dumyati dan Nurhaji, (2023) dalam penelitiannya yang berjudul Penggunaan Finite Element Method untuk Analisis Struktur Segitiga T Sepeda Motor. Hasil dalam penelitian tersebut adalah segitiga T memiliki faktor keamanan yang lebih dari 1, sehingga memiliki kekuatan yang cukup untuk menahan beban.

Penelitian perancangan produk menggunakan FEM juga dilakukan oleh Putro, et al., (2023). Dalam penelitiannya yang *The Wave Effect Analysys Caused by Blasting Toward Highwall Slope Stability at Coal Mining, Pit* 3000 *Block* 05 Sb 1, Pt. Trubaindo *Coal Mining*, Kutai Western District, East Kalimantan *Province*. Hasil penelitian menunjukan bahwa FEM menunjukan bahwa nilai SRF dari masing-masing lereng tergolong lereng yang aman dikarenakan nilai SRF > 1,25.

Oleh karena latar belakang tersebut peneliti tertarik untuk melakukan penelitian berjudul Perancangan Mesin Pemotong Singkong Dan Simulasi Metode Elemen Hingga.

Berdasarkan latar belakang yang telah diuraikan diatas, maka didapatkan rumusan masalah sebagai berikut:

- Bagaimana bentuk desain dan fitur pada mesin pemotong singkong dengan menggunakan analisa elemen hingga.
- Bagaimana penggunaan analisa elemen hingga pada perancangan mesin pemotong singkong.

Adapun tujuan penelitian yang ingin dicapai dari penelitian ini adalah:

Mengetahui bentuk desain dan fitur dari mesin pemotong singkong dengan menggunakan analisa

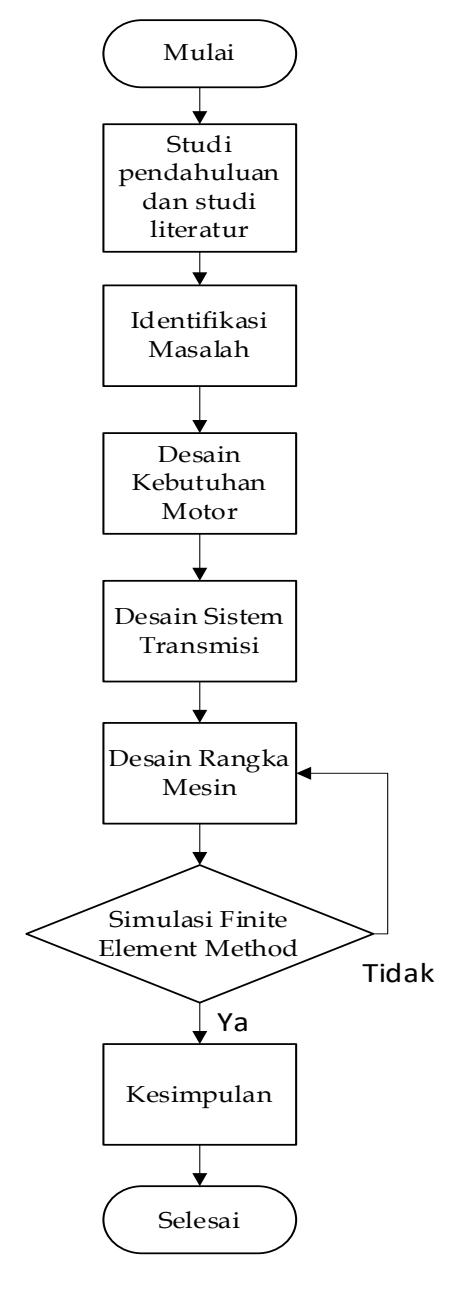
- elemen hingga.
- Mengetahui penggunaan analisa elemen hingga pada mesin pemotong singkong.

## METODE PENELITIAN

#### Jenis Penelitian

Jenis Penelitian ini adalah metode elemen hingga pada pembuatan rangka. wawancara, dan eksperimen. Dengan tujuan untuk dapat mengetahui bentuk desain dan fitur dari mesin pemotong singkong dengan menggunakan analisa elemen hingga dan mengetahui penggunaan analisa elemen hingga pada mesin pemotong singkong.

# Diagram Alir



Gambar 2 Diagram Alir Penelitian

#### HASIL DAN PEMBAHASAN

- ➤ Mencari Kebutuhan Motor
  - Penentuan Gaya Pemotongan
    - o Pembuatan Trainer



Gambar 3 Alat Trainer Simulasi Pemotongan Singkong

# o Pengukuran Dimensi Singkong



Gambar 4 Pengukuran Singkong Terbesar

# Pengujian Pada Diameter Terbesar



Gambar 5 Pengukuran Diameter Terbesar



Gambar 6 Pembebanan Pada Dimensi Terbesar Titik Besar 52,1 mm membutuhkan 9,345 kg x 10m/s2 = 93,45 N

## Pengujian Pada Diameter Sedang



Gambar 7 Pengukuran Pada Dimensi Sedang



Gambar 8 Uji Pembebanan Pada Dimensi Sedang

Titik Tengah 48,3 mm membutuhkan 5,85 kg x 10m/s2 = 58,5 N



Gambar 9 Pengukuran Pada Dimensi Kecil



Gambar 10 Uji Pembebanan Pada Dimensi Kecil

Titik kecil 35,7 mm beban 4,565 kg x 10m/s2 = 45,65 N

#### • Mencari Torsi

Sebelum menghitung daya nominal, terlebih dahulu menghitung Torsi. Perhitungan Torsi yang didapat sebagai berikut:

T = F.r

 $T = 93,45 \text{ N} \times 0,25 \text{m}$ 

T = 23,3625m

T = 23,36 Nm

# • Mencari RPM

Secara umum, mesin perajang singkong yang tersedia di pasaran beroperasi dengan kecepatan putaran di atas 300 rpm (Putra et al., 2019). Penelitian oleh Pribadi et al. (2019) menunjukkan bahwa persentase bahan yang tidak terpotong pada kecepatan putar pisau 282 rpm, 287 rpm, dan 292 rpm adalah masing-masing 8,1%, 9,3%, dan 10,0%.

## • Mencari Daya

# o Daya nominal

Untuk mencari nominal daya (P) pada mensin perajang singkon yang penulis teliti, maka penulis melakukan perhitunan menggunakan rumus dibawah ini.

$$P = \frac{2.\pi \cdot n \cdot T}{60.1000}$$

$$P = \frac{2.23,36.3,14.280}{60.1000}$$

 $P=0.685\;kW$ 

Dari perhitungan tersebut, maka ditemukan hasil daya nominalnya adalah 0.685 kW.

## Daya Rencana

Setelah mengetahui daya nominal yang dibutuhkan, langkah selanjutnya adalah memperkirakan daya rencana yang diperlukan. Perhitungan yang digunakan sebagai berikut:

Mesin yang digerakkan		Pengerak						
		Momen 200%	puntir	puncak	Momen 200%	puntir 1	ouncak >	
		Motor arus bolak-balik (momen normal, sangkar bajing, sinkron), motor arus searah (hilitan shunt) Jumlah jam kerja tiap han			Motor arus bolak-balik (moment tinggi, fasa tunggal, lilitan seri), motor searah (lilitan kompon, lilitan seri), mesin torak, kopling tak tetap			
					Jumlah jam kerja tiap hari			
		3-5 jam	8-10 jam	16-24 jam	3-5 jam	8-10 jam	16-24 jam	
beban	Pengaduk zat cair, kipas angin, blower (sampai 7,5 kW) pompa sentrifugal, konveyor tugas ringan,	1,0	1,1	1,2	1,2	1,3	1,4	
Variable beban kecil	Konveyor sabuk (pasir, batu bara), pengaduk, kipas angin (lebih dari 7,5kW), mesin torak, peluncur, mesin perkakas, mesin pencetak.	1,2	1,3	1,4	1,4	1,5	1,6	
vanabie beban sodene	Konveyor (ember, sekrup), pompa torak, kompresor, pilingan palu, pengocok, roots-blower, mesin tekstil, mesin kayu	1,3	1,4	1,5	1,6	1,7	1,8	
Variable behan hehas	Penghancur, gilingan bola atau batang, pengangkat, mesin pabrik karet (rol, kalender)	1,5	1,6	1,7	1,8	1.9	2,0	

Gambar 11 Factor Koreksi

(Sumber: Sularso dan Suga, 2002)

Pd = Fc.P

 $Pd = 1.1 \times 0.685 kW$ 

Pd = 0.7535 kW

## Daya Motor

Untuk perhitungan daya motor didapatkan daya motor yang dibutuhkan adalah sebagai berikut:

$$P = 0.7535 \text{ kW} = 753,5 \text{ Watt}$$

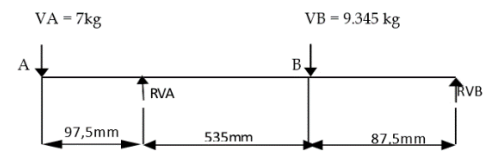
Karena 1 hp = 745,7 watt, maka mesin ini butuh motor 1hp. Motor 1 hp dipasaran yaitu 1400 rpm lalu diubah menjadi 280 rpm, karena reduksi rpm 1:5 bisa digunakan vbelt dan puli.

#### Mencari Sistem Transmisi

#### o Poros

Poros merupakan salah satu komponen penting dalam sistem transmisi mesin perajang singkong. Putaran dari motor listrik ditransmisikan melalui puli dan sabuk-V ke poros. Poros ini berfungsi untuk memutar pisau perajang. Panjang poros adalah 700 mm dengan dukungan dari dua buah bantalan (bearing) yang berjarak 97,5 mm dan 87,5 mm dari masing-masing ujung poros. Selanjutnya, perencanaan poros mesin perajang singkong perlu dilakukan.

# Analisa Gaya Pada Poros



Gambar 12 Reaksi Tumpuan Pada Pembebanan Poros

- Reaksi di sambungan
  - Beban berada di titik A dengan spesifikasi berikut
    - ✓ Puli 5 kg
    - ✓ Gaya Tarik V Belt 2 kg
  - Beban di Titik B = 9.345 kg
- Reaksi Tumpuan di VA

Beban berada di titik A dengan spesifikasi berikut:

$$MB = 0$$

VA(602,5)-7(700)+9.345(97,5)

$$602.5 \text{ VA} = 4900 - 817.69$$

$$VA = 6.619 kN$$

Reaksi Tumpuan di VB

$$MA = 0$$

VB(602,5)-9,345(535)-7(97,5)

$$602,5$$
VB =  $4.999,575 + 682,5$ 

$$VB = 9.43 \text{ kN}$$

$$PV = 0$$

$$9.345 + 7 = 6,619 \text{ kN} + 9,43 \text{ kN}$$

$$16,345 = 16,049$$

Toleransi 0.3 kN

## Daya yang ditransmisikan :

Karena P = 1 Hp = 745,7 watt dengan putaran poros n = 280 rpm, maka rasio yang dihasilkan adalah:

Rasio 
$$280/1400 = 0.2$$

- Faktor koreksi pertama sebagai angka keamanan awal diambil 1,1
- Daya rencana untuk penghitungan poros adalah

$$Pd = fc \cdot P$$
  
= 1,1 \cdot x 0.685kW  
= 0,754 kW

Momen puntir rencana perhitungannya sebagai berikut

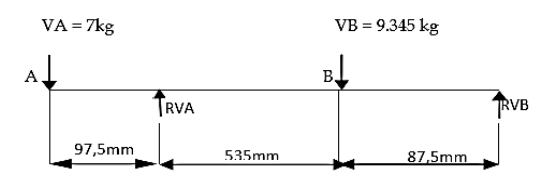
$$T = 9,74 \times 105 \text{ pd/n1}$$

$$=9,74 \times 10^5 \frac{0.75}{280}$$

$$= 2608,928 \text{ kgmm}$$

$$= 2608,93 \text{ kgmm}$$

Pembebanan yang terjadi pada poros



Gambar 13 Reaksi Tumpuan Pada Pembebanan Poros

Untuk perhitungan pembebanan yang terjadi pada poros bisa dilihat pada perhitungan dibawah ini:

Gaya reaksi di engsel

$$ME = 0 = 7 (87,5 + x) - 622,5 (x)$$

$$= 612.5 + 7x - 622.5 x$$

$$612,5 = -615,5 \text{ x}$$
  
 $x = 0.995$ 

MC = 0

MA = -7 (97,5) = 682,5kN

MD = 7 (0.995 kN) = 5.1 kN

MB = 0

ME = -7 (97,5 + x) + 622,5 (x) = 0= -682,5 - 7 x + 622,5 x = 0

615,5x = 682,5

x = 1,1

Beban reaksi poros diantara 2 bearing yaitu 1,1 kN

# Bahan Poros

Bahan poros menggunakan S35C, kekuatan tarik ( $\sigma B$ ) = 52 kg/mm , Sf1 = 6, Sf2 = 2 (dengan alur pasak) Kt = 1,5 (untuk beban kejutan dan tumbukan), Cb = 2 (untuk beban lenturan), N = 2,0 ; CR = 0,90 ; CS = 0,73 (Robert L. Mott, 2009: 155)

- ✓ Daya Rencana 0.75 kW
- ✓ Torsi 23.36 Nm
- ✓ Fc = 1.1
- Tegangan geser yang diizinkan.

Tegangan geser yang diizinkan adalah:

$$t_g = \sigma_b/(Sf_1xSf_2)$$
$$= 52/(6x2)$$
$$= 4.33 \text{ kg/mm}^2$$

# Diameter Pada Poros

$$d_{s} \ge \left[ \frac{(5,1)}{\text{tg}} \sqrt{(K_{\text{M}}.\text{M})^{2} + (K_{\text{t}}x\text{T})^{2}} \right]^{\frac{1}{3}}$$

$$d_{s} \ge \left[ \frac{(5,1)}{4,33} \sqrt{(3x682,5)^{2} + (3x2608,93)^{2}} \right]^{\frac{1}{3}}$$

$$d_{s} \ge \left[ 1.055 \sqrt{(3x682,5)^{2} + (3x2608,93)^{2}} \right]^{\frac{1}{3}}$$

$$d_{s} \ge 20,436$$

$$d_{s} \ge 20$$

Dengan ini, peneliti menggunakan Shaft berdiameter 20mm. Lalu, pada bagian yang terkena bearing, peneliti menggunakan shaft berdiameter 22mm.

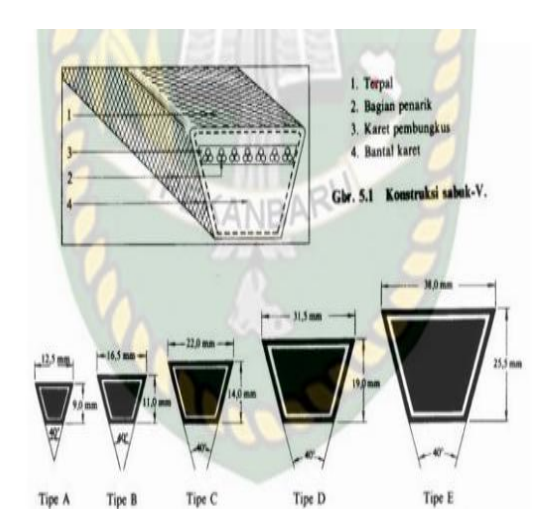
## > Pully dan Sabuk V (V-belt)

Transmisi sabuk-V digunakan untuk mereduksi putaran dari n1 = 1400 rpm menjadi n2 = 280 rpm. Mesin perajang singkong mengalami variasi beban yang besar dan diperkirakan beroperasi selama 8-10 jam setiap hari. Oleh karena itu, faktor koreksi waktu yang digunakan adalah 1,1. (Sularso, Kiyokatsu Suga, 2002:165).

Proses perencanaan dan perhitunga V-Belt dapat diamati pada tabel berikut:

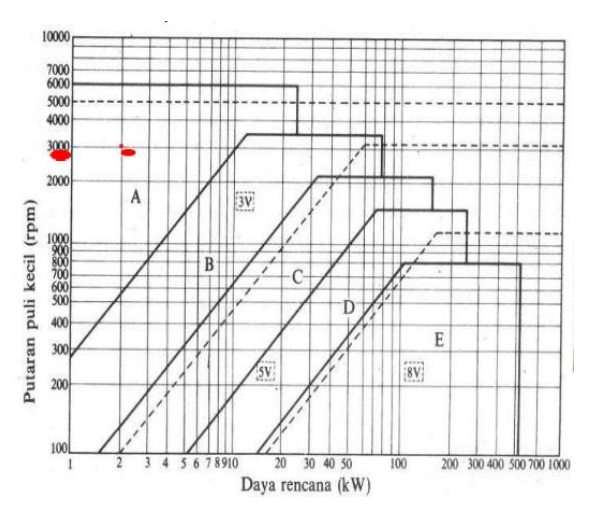
Nomor nominal		Nomor nominal		Nomor nominal		Nomor Nominal	
(inchi)	(mm)	(inchi)	(mm)	(inchi)	(mm)	(inchi)	(mm)
10	254	45	1143	80	2032	115	2921
11	279	46	1168	81	2057	116	2946
12	305	47	1194	82	2083	117	2972
13	330	48	1219	83	2108	118	2997
14	356	49	1245	84	2134	119	3023
15	381	50	1270	85	2159	120	3048
16	406	51	1295	86	2184	121	3073
17	432	52	1321	87	2210	122	3099
18	457	53	1346	88	2235	123	3124
19	483	54	1372	89	2261	124	3150
20	508	55	1397	90	2286	125	3175
21	533	56	1422	91	2311	126	3200
22	559	57	1448	92	2337	127	3226
23	584	58	1473	93	2362	128	3251
24	610	59	1499	94	2388	129	3277
25	635	60	1524	25	2413	130	3302
26	660	61	1549	96	2438	131	3327
27	686	62	1575	97	2464	132	3353
28 29	711 737	63	1600 1626	98 99	2489 2515	133 134	3378 3404
30	762	65	1651	100	2540	135	3429
31	787		1676		2565		
32	813	66 67	1702	101	2591	136 137	3454
33	838	68	1702	102	2616	137	3480 3505
34	864	69	1753	103	2642	139	3531
35	889	70	1778	104	2667	140	3556
36	914	71	1803	106	2692	141	3581
37	940	72	1829	107	2718	142	3607
38	965	73	1854	108	2743	143	3632
39	991	74	1880	109	2769	144	3658
40	1016	75	1905	110	2794	145	3683
41	1041	76	1930	111	2819	146	3708
42	1067	77	1956	112	2845	147	3734
43	1092	78	1981	113	2870	148	3759
44	1118	79	2007	114	2896	149	3785
					2070		

Gambar 14 Panjang Sabuk V Standar (Sumber: Sularso dan Suga, 2002)



Gambar 15 Katalog Ukuran Tipe *VBelt* (Sumber: Sularso dan Suga, 2002)

Perancangan Desain Mesin Pemotong Singkong Dan Simulasi Metode Elemen Hingga (Studi Kasus: UKM Zeans Snack)



Gambar 16 Diagram Penentuan VBelt

(Sumber: Sularso dan Suga, 2002)

Penampang	A	В	С	D	E
Diameter min. yang diizinkan	65	115	175	300	450
Diameter min. yang dianjurkan	95	145	225	350	550

Gambar 17 Diameter Yang Disarankan

(Sumber: Sularso dan Suga, 2002)

Puli yang digerakkan Vbelt

$$n1. d1. = n2. d2$$

$$1400.95 = 280.d2$$

d2 = 475 puli yang digerakan

Vbelt

1) Kecepatan Sabuk (V)

$$V1 = \frac{\pi.dp.n}{60.10000}$$

$$V1 = \frac{3,14.95.1400}{60.10000}$$

$$V1 = 6.96 \text{ m/s}2$$

$$V2 = \frac{\pi.Dp.n}{60.10000}$$

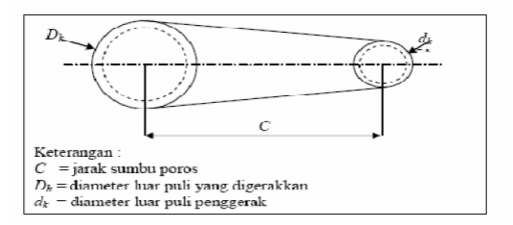
$$V2 = \frac{3,14.475.280}{60.10000}$$

V2 = 6.96 m/2

Aksi = Reaksi

V1 = V2

6,96 = 6,96



Gambar 18 Jarak Sumbu Poros (Sumber: Sularso dan Suga, 2002)

■ Panjang Keliling Sabuk V (L)

$$Dp < C < 3(Dp + dp)$$

$$L = 2C + \frac{\pi}{2}(dp + Dp) + \frac{1}{4c}(dp + Dp)^{2}$$

$$L = 2C + \frac{3{,}14}{2}(95 + 475) + \frac{1}{4c}(95 + 475)^2$$

$$L = 2.550 + \frac{3.14}{2} (95 + 475) + \frac{1}{4.550} (95 + 475)^2$$

$$L = 2.550 + \frac{3.14}{2} (95 + 475) + \frac{1}{2200} (95 + 475)^2$$

$$L = 1100 + \frac{3,14}{2}(95 + 475) + \frac{1}{2200}(95 + 475)^2$$

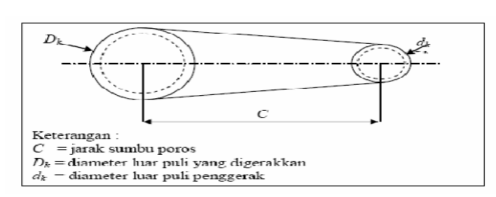
$$L = 2142,58 \text{ mm}$$

Nomor	Nomor nominal		Nomor nominal		Nomor nominal		Nomor Nominal	
(inchi)	(mama)	(inchi)	(mm)	(inchi)	(mm)	(inchi)	(mm)	
10	254	45	1143	80	2032	115	2921	
11	279	46	1168	81	2057	116	2946	
12	305	47	1194	82	2083	117	2972	
13	330	48	1219	83	2108	118	2997	
14	356	49	1245	84	2134	119	3023	
15	381	50	1270	85	2159	120	3048	
16	406	51	1295	86	2184	121	3073	
17	432	52	1321	87	2210	122	3099	
18	457	53	1346	88	2235	123	3124	
19	483	54	1372	89	2261	124	3150	
20	508	55	1397	90	2286	125	3175	
21	533	56	1422	91	2311	126	3200	
22	559	57	1448	92	2337	127	3226	
23 24	584	58	1473	93 94	2362	128	3251	
24	610	59	1499		2388	129	3277	
25	635	60	1524	95	2413	130	3302	
26 27	660 686	61 62	1549 1575	96 97	2438 2464	131 132	3327 3353	
	711	63	1600	98	2489	133	3378	
28 29	737	64	1626	98	2515	133	3404	
30	762	65	1651	100	2540	135	3429	
31	787	66	1676	101	2565	136	3454	
32	813	67	1702	102	2591	137	3480	
33	838	68	1727	103	2616	138	3505	
34	864	69	1753	104	2642	139	3531	
35	889	70	1778	105	2667	140	3556	
36	914	71	1803	106	2692	141	3581	
37	940	72	1829	107	2718	142	3607	
38	965	73	1854	108	2743	143	3632	
39	991	74	1880	109	2769	144	3658	
40	1016	75	1905	110	2794	145	3683	
41	1041	76	1930	111	2819	146	3708	
42	1067	77	1956	112	2845	147	3734	
43	1092	78	1981	113	2870	148	3759	
44	1118	79	2007	114	2896	149	3785	
(Sumber : Sularso, 2002 : 168.)								

Gambar 18 Katalog VBelt Standar (Sumber: Sularso dan Suga, 2002)

Maka Sabuk yang dipilih yaitu No. 84 = 2134 mm, dan No. 85 = 2159 mm, dipilih 2134 mm

Jarak Sumbu Poros (C)



Gambar 20 Jarak Sumbu Poros (Sumber: Sularso dan Suga, 2002)

$$b = 4L - 2\pi(Dp + dp)$$

$$b = 4.2134 - 6.28(475 + 95)$$

$$b = 8536 - 6.28(475 + 95)$$

$$b = 8536 - 3579.6$$

$$b = 4956.4$$

$$C = \frac{B + \sqrt{B^2 - 32(Dp - dp)^2}}{16}$$

$$C = \frac{4956.4 + \sqrt{4956.4^2 - 32(475 - 95)^2}}{16}$$

$$C = 588.9 \text{mm}$$

#### Rangka

## Mencari Rangka

No	Aspek Rangka	Didapat dari	Metode	Hasil
1	Aspek Ergonomi	Rachmawati, (2019) yang berjudul Rancang Bangun Mesin Perajang Singkong yang Memenuhi Aspek Ergonomis untuk Meningkatkan Produktivitas Pekerja	Kuantitatif dari 25 orang laki laki dan perempuan di UMKM keripik singkong di Kabupaten Gunungkidul	Hasil rancangan mesinnya memiliki ukuran tinggi 70 cm, lebar 50 cm, dan panjang keseluruhan adalah 70 cm, didapat 70 cm adalah tinggi yang ergonomis.
1	Panjang Lebar Rangka	Panjang Poros	Perhitungan	Peneliti Mengambil Panjang Poros 70cm
3	Aspek K3	-	Penambahan Cover disekeliling mesin.	Menggunakan Aluminium agar mesin tidak terlalu berat.
4	Bahan Rangka	Perbandingan bahan sama dengan poros yaitu S35C dan	Metode Elemen Hingga	Uji pembebanan pada rangka

Berdasarkan hasil analisa tabel tersebut maka peneliti menentukan Panjang Poros = 700mm dan tinggi sesuai aspek ergonomi yaitu = 700 mm, maka body mesin dibuat 780mm pada panjang dan lebarnya.

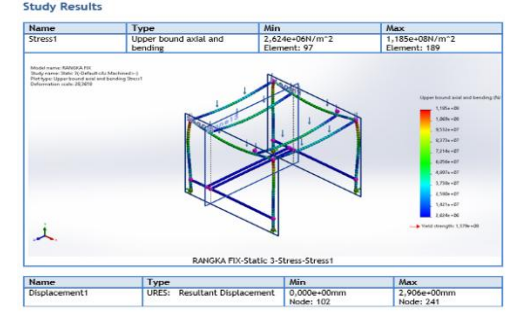


Gambar 22 Rangka Mesin Ukuran 780x780x70

# Simulasi FEM pada Rangka

Gambar 21 Analisa *Stress* Pada Rangka Material S35C Setara AISI 1035

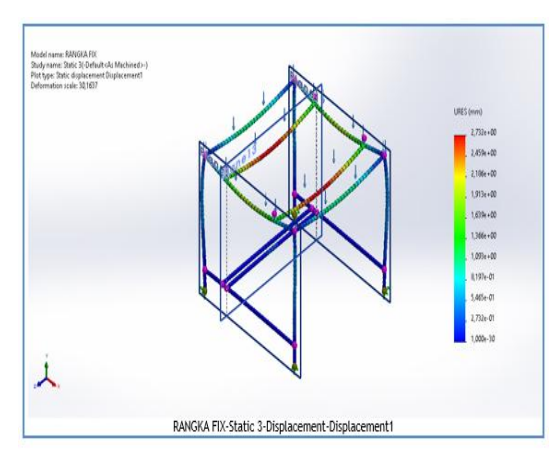
Analisis simulasi menunjukkan bahwa rangka mesin yang terbuat dari material Hollow AISI 1035 memiliki kapabilitas yang memadai untuk menahan beban sebesar 50 kg (500 N). Hal ini dibuktikan dengan hasil analisis tegangan yang menghasilkan nilai 1,186 x 10^8 N/m², yang secara signifikan berada di bawah batas tegangan luluh (yield strength) material tersebut, yaitu 2,827 x 10^8 N/m². Temuan ini mengindikasikan bahwa desain rangka memenuhi kriteria keamanan dan standar yang diperlukan untuk aplikasi yang dimaksud.



Gambar 22 Analisa *Stress* Pada Rangka Material AISI 316

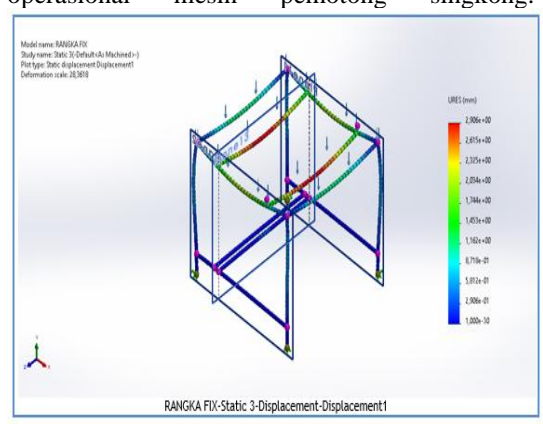
menunjukkan Hasil analisis bahwa material AISI 316 menghasilkan nilai tegangan sebesar 1,185 x 10<sup>8</sup> N/m<sup>2</sup>. Namun, nilai ini dapat dianggap kurang baik untuk aplikasi dalam perancangan rangka mesin. Hal ini disebabkan oleh kedekatan nilai tegangan tersebut dengan batas tegangan luluh (yield strength) material, yang tercatat sebesar 1,379 x 10<sup>8</sup> N/m<sup>2</sup>. Ini mengindikasikan bahwa keamanan yang tersedia relatif kecil, sehingga menimbulkan kekhawatiran terkait kekuatan dan ketahanan struktur rangka dalam jangka panjang. Oleh karena itu, dari perspektif struktural, penggunaan material ini dalam konfigurasi yang diusulkan mungkin kurang ideal.

# • Analisa Displacement



Gambar 23 Analisa *Displacement* Pada Rangka Material S35C Setara AISI 1035

Hasil analisis menunjukkan bahwa rangka mesin pemotong singkong yang terbuat dari material AISI 1035 mengalami displacement maksimum sebesar 2,732 x 10<sup>o</sup>00 mm cukup kuat ketika diberi beban 50kg atau 500N. Nilai displacement yang relatif kecil ini mengindikasikan bahwa rangka memiliki kekakuan yang memadai. Pergeseran yang minimal ini menunjukkan bahwa rangka mampu mempertahankan integritasnya dan stabilitas geometrisnya di bawah kondisi pembebanan 50kg. Karakteristik ini mengimplikasikan bahwa desain rangka memiliki performa yang baik dalam hal resistensi terhadap deformasi, yang merupakan aspek penting dalam menjaga keakuratan dan efisiensi mesin pemotong singkong. operasional

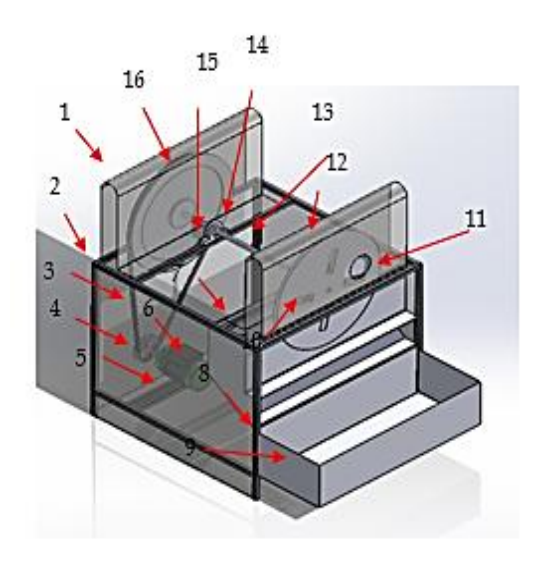


Gambar 24 Analisa *Stress* Pada Rangka Material AISI 316

Hasil Analisis menunjukkan bahwa rangka yang terbuat dari material AISI 316 menghasilkan nilai displacement maksimum sebesar 2,906 x 10^00 mm. Angka ini sedikit lebih besar dibandingkan dengan nilai yang dihasilkan oleh material AISI 1035. Perbedaan ini

mengindikasikan bahwa, AISI 316 tidak lebih baik dalam hal kekakuan struktural.

#### Desain Akhir



Gambar 25 Desain Rancangan Mesin Pemotong Singkong

## Keterangan:

- 1. Casing Atas Belakang
- 2. Rangka Hollow AISI 1035 780x780x700
- 3. Vbelt
- 4. Puli 95mm
- 5. Bracket Motor
- 6. Motor 1HP
- 7. Jalur Keluar Singkong
- 8. Slider Keranjang
- 9. Keranjang Luaran
- 10. Pisau Pemotong 100mm
- 11. Bilik Potong
- 12. Casing Atas Depan
- 13. Shaft 20x700mm
- 14. Rumah Bearing
- 15. Bearing Diameter 22mm
- 16. Puli 475mm

#### **PENUTUP**

#### Simpulan

- ➤ Sistem transmisi mesin perajang singkong ini mengubah putaran motor listrik dari 1400 rpm menjadi 280 rpm, dengan komponen berupa 2 pulley diameter Ø475 mm, dan Ø95 oleh v-belt Tipe A No. 84 berdiameter 2134mm Poros yang digunakan berdiameter 20 mm dengan bahan S35C.
- > Memiliki 4 Pisau Pemotongan
- Desain mesin perajang singkong ini membutuhkan daya dari motor listrik sebesar 1 HP.
- Setelah dilakukan uji pembebanan, rangka mesin perajang singkong dengan material S35C memenuhi persyaratan keamanan karena pada stress analysis didapat yield strengh yang sesuai dan dibawah titik tertinggi 2kali lipat sehingga aman jika dibandingkan material AISI 316 ketika diberikan gaya 500N.
- Penambahan keranjang luaran diharapkan menambah nilai jual perancangan mesin ini.

# Saran

- ➤ Karena menggunakan motor 1hp maka harga mesin ini mahal dan lumayan boros listrik. Peneliti harap penelitian ini dapat berguna bagi kedepannya.
- Transmisi motor listrik menggunakan pulley dapat terjadi slip pada saat pemotongan tinggi ini diharapkan saat implementasi lebih baik dari motor gearbox karena tidak mencederai gearbox ketika beban tinggi.
- Karena penggunaan Motor listrik konvensional yang ditransmisikan dengan puli maka biaya perbaikan lebih murah dari motor gearbox. Disarankan kedepannya bisa menggunakan motor gearbox namun harganya murah.

## DAFTAR PUSTAKA

- Mott, Robert L. (2009). *Elemen-Elemen Mesin Dalam Perancangan Mekanis Buku 1*. Yogyakarta: Andi.
- Suga, Kiyokatsu dan Sularso. (1997). Dasar Perencanaan Dan Pemulihan Elemen. Mesin. Jakarta : Pradnya Paramita

- Isworo, H., dan Ansyah, P. R. (2018). *Buku Ajar Metode Elemen Hingga*. Universitas. Lambung Mangkurat. https://mesin.ulm.ac.id/assets/dist/bahan/MEH\_B uku\_Ajar\_full.pdf
- Daryanto. Fisika Teknik. Jakarta: PT. Rineka Cipta. 2000:117
- Indah, wawancara dengan penulis, 7 Juni 2024, UKM Zeans Snack. Wawancara Pribadi.
- Sarastiana, (2020). "Menghitung Reaksi Pada Tumpuan" https://www.sarastiana.com/2020/03/menghitung -reaksi-pada-tumpuan.html. Diakses 12 Juni 2024
- Rasyid, A. H. A., Susila, I. W., Dewanto, D., dan Santoso, D. I. (2022). Rancang Bangun Mesin Pemotong Serba Guna Hemat Energi Penunjang Produktifitas Ukm Kerupuk. *Otopro*, *18*(1), 7–12. https://doi.org/10.26740/otopro.v18n1.p7-12
- Hakim, M. L., Nugroho, G., Mashuri, M., Babgei, A. F., Soedjono, D. M. E., dan Subiyanto, H. (2022). Penerapan Teknologi Provent Mesin Pemotong Tempe, Guna Meningkatkan Produktivitas Dan Kehigienisan Produk Kripik Tempe Untuk UMKM di Kelurahan Manyar, Surabaya. Sewagati, 6(5). https://doi.org/10.12962/j26139960.v6i5.171
- Wijaya, C. A., Sianto, M. E., dan Santosa, H. (2019).

  Perancangan Ulang Alat Pemotong Kerupuk
  Dengan Menggunakan Metode Triz (Teorija
  Rezhenija Izobretatelskih Zadach). Widya Teknik.
  18 (2), 30-35.

  https://doi.org/10.33508/wt.v18i2.2274
- Dumyati, I., & Nurhaji, S. (2023). Modeling dan Simulasi Finite Element Analysis pada Segitiga T Sepeda Motor Menggunakan Sofware Ansys 2023. 5(1). https://doi.org/10.18196/jqt.v5i1.19012
- Putro, et al., (2023). The Wave Effect Analysys Caused by Blasting Toward Highwall Slope Stability at Coal Mining, Pit 3000 Block 05 Sb 1, Pt.
  Trubaindo Coal Mining, Kutai Western District, East Kalimantan Province.
  https://doi.org/10.33019/promine.v5i1.116